

# I-B451 埋立護岸近傍に建設される埋設トンネルの耐震性評価

早稲田大学大学院 学生会員 河野 博通  
早稲田大学理工学部 フェロー会員 清宮 理

## 1.はじめに

現在海上空港等の人工島護岸近傍に埋設トンネルの建設が計画されている。水平均一地盤における埋設トンネルの横断面の耐震設計は従来応答変位法で行われているが、本研究で解析対象とする護岸近傍の地盤は水平均一ではなく複雑な地盤構成をなしており応答変位法が適用できないと考えられる。そこで地盤及び埋設トンネルの材料非線形性を考慮した有限要素法動的応答解析を行い、レベル2クラスの地震に対する埋設トンネルの耐震性を考察する。

## 2.解析モデルと解析条件

護岸に近接する埋設トンネルの地震時の挙動を調べるために、表1に示すトンネルと護岸の距離を変えた3ケースの時刻歴動的応答解析を行う。解析には有限要素法汎用プログラムTDAPⅢを用い、積分方法はNewmark- $\beta$ 法( $\beta=1/4$ )とする。解析対象となる埋設トンネルの横断面図を図1に示す。トンネルは幅29.5m、高さ10mの左右対称2連ボックスガルバート形式のRC構造であり、土かぶり厚は4mである。この埋設トンネルを梁要素でモデル化し、曲げモーメントに関して図2に示すデイグレイティングトリリニア型の武藤モデルにより材料非線形性を考慮する。また、図3に示すトンネル周辺地盤を平面ひずみ要素でモデル化し、図4に示すHardin-Drnevich曲線により材料非線形性を考慮する。要素厚は1mとする。表2に地盤物性値を示す。解析モデルの要素数は1193個(梁要素80個含む)、節点数は1126個である。梁要素の節点は平面ひずみ要素の節点と共有させる。人工島内側は水平均一地盤をなしているが、護岸側には消波ブロック、捨石、盛土が設けられ地盤が段階的に斜めに切れ落ちている。地盤モデル側面は粘性境界要素を設け水平ローラーで固定し、底面は剛結合とする。-44m以下の洪積世砂層を工学的基盤面とし、兵庫県南部地震においてポートアイランドの地下-83mで観測され、修正された図5に示すレベル2クラスの加速度波形を2Eとして基盤面に入射する(水平振動のみ考慮)。最大加速度は-559gal、ステップ数は2000、ステップ間隔は0.01秒である。地盤及びトンネルの減衰は、Rayleigh減衰で系の1次固有振動数(1.1Hz)と5Hzで減衰定数が5%になるように設定する。地盤の液状化や不等沈下及び地盤とトンネルの剥離・すべりについて考慮しない。本研究では主に部材の曲げモーメントに着目して解析を行う。

表1 解析ケース

ケース①	護岸から38m
ケース②	護岸から84m
ケース③	護岸なし

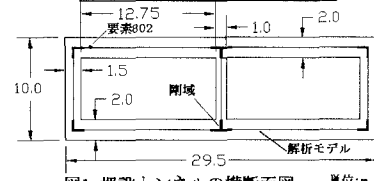


図1 埋設トンネルの横断面図 単位:m

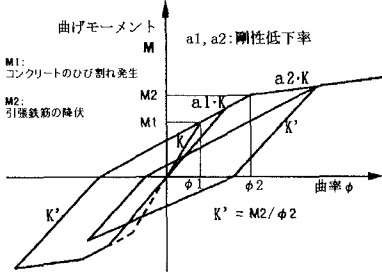


図2 武藤モデル

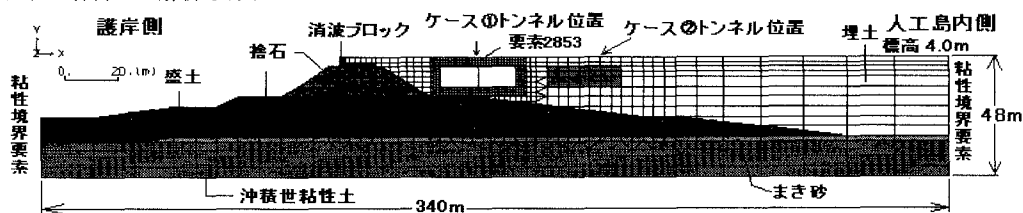
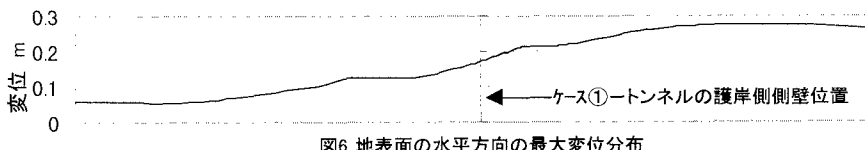


図3 トンネル周辺地盤の解析モデル



キーワード：時刻歴動的応答解析、埋設トンネル、護岸、横断面

連絡先：〒169-8555 新宿区大久保3-4-1 早稲田大学大学院理工学研究科清宮研究室 TEL/FAX 03-5286-3852

E-mail 698f0185@mn.waseda.ac.jp

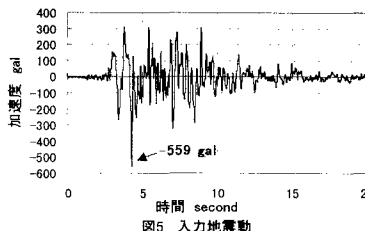


図5 入力地震動

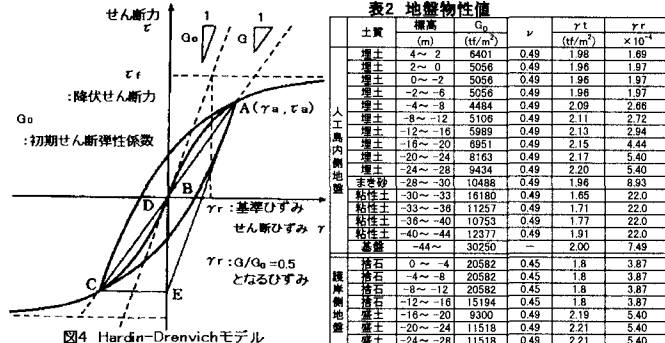


表2 地盤物性値

土質	標高 (m)	$G_0$ (tf/m <sup>2</sup> )	$\nu$	$\tau_f$ (tf/m <sup>2</sup> )	$\gamma_r \times 10^4$
埋土	4～2	6401	0.49	1.98	1.69
埋土	2～0	5056	0.49	1.96	1.97
埋土	0～-2	5056	0.49	1.95	1.97
埋土	-2～-6	5056	0.49	1.95	1.97
埋土	-6～-12	5056	0.49	2.00	2.00
埋土	-8～-12	5106	0.49	2.11	2.72
埋土	-12～-16	5889	0.49	2.13	2.94
埋土	-16～-20	6951	0.49	2.15	4.44
人工島内側新規地盤	-20～-24	8163	0.49	2.17	5.40
埋土	-24～-28	9434	0.49	2.20	5.40
粘性土	-28～-30	10486	0.49	1.96	8.93
粘性土	-30～-33	16186	0.49	1.65	22.0
粘性土	-33～-36	11257	0.49	1.71	22.0
粘性土	-36～-40	10754	0.49	1.77	22.0
粘性土	-40～-44	12377	0.49	1.91	22.0
基盤	-44～	30250	—	2.00	7.49

## 3. 解析結果

図6に地盤表面の水平方向の最大変位分布を示す。人工島内側に入る程最大変位が大きくなっている。図7に

ケース①における5.26(sec)の曲げモーメント分布を示し、各ケースの最大曲げモーメント分布を図8～10に示す。分布値が一番大きくなったケース①でも引張鉄筋は降伏せず、上床版、下床版、中柱及び側壁でコンクリートのひび割れが発生している。また図8～10より護岸からの距離が長くなる程分布の値が小さくなり、コンクリートのひび割れ箇所が減少していることが判る。ケース①はケース③に比べて分布値が場所にもよるが約2倍になっている。図11、12にケース①における梁要素802(上床版護岸側)における曲げモーメントの時刻歴、地盤要素2853(トンネル上床版中央点より1.5m上部)における $\tau-\gamma$ 履歴曲線を示す。



図7 ケース①における5.26(sec)の曲げモーメント分布



図8 ケース① 最大曲げモーメント分布

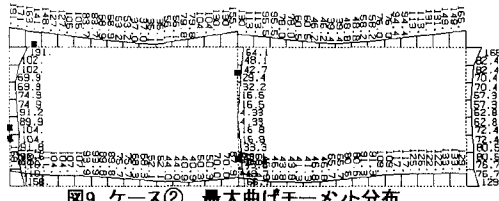


図9 ケース② 最大曲げモーメント分布



図10 ケース③ 最大曲げモーメント分布

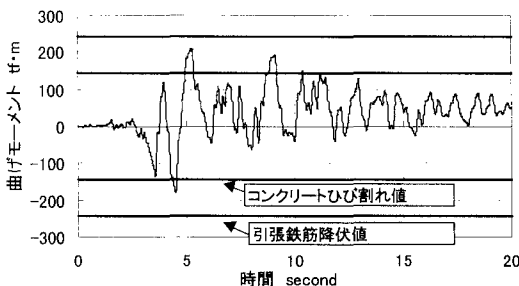
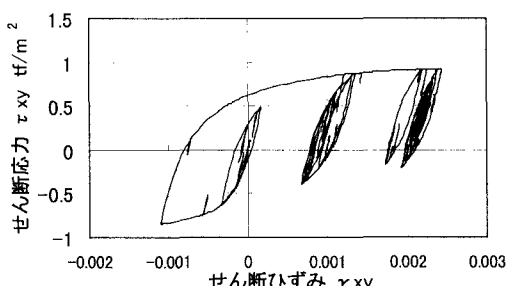


図11 梁要素802(ケース①)の曲げモーメント時刻歴

## 4.まとめ

護岸近傍の埋設トンネルは護岸なしの水平均一地盤の場合と比べ最大曲げモーメントの分布値が場所にもよるが約2倍となり、護岸から離れるに従って断面力が低下している。よって、護岸近傍に埋設トンネルを建設する場合護岸の影響も考慮して耐震設計する必要があるといえ、従来の応答変位法の適用には検討が必要である。

参考文献 1) 土木学会:実務者のための耐震設計入門, 1998.7, 2) 酒井久和・清宮理:時刻歴応答解析による地下駅舎の被災メカニズムの一考察, 土木学会第52回年次学術講演会論文集, 1997.9, 3) 土木学会:動的解析と耐震設計第1巻地盤動・動的物性, 1995.7

図12 に地盤要素2853(ケース①)の $\tau-\gamma$ 履歴曲線